



بررسی تغییرات الگوی فرسایش کناری در رودخانه بشار

مجید خزایی^۱، احمد نوحه گر^{۲*}، رسول مهدوی نجف آبادی^۳ و عبدالرسول تلوری^۴

^۱دانشجوی دکتری آبخیزداری دانشگاه هرمزگان- آدرس: یاسوج-میدان جهاد- مرکز تحقیقات کشاورزی یاسوج، ایمیل:

khazaei.phd@hormozgan.ac.ir

^۲ استاد دانشکده محیط زیست دانشگاه تهران (مسئول مکاتبات)

^۳ استادیار آبخیزداری دانشگاه هرمزگان

^۴ بازنشسته سازمان جنگل‌ها و مراتع و آبخیزداری کشور

چکیده

فرسایش کناره‌ای یکی از منابع اصلی رسوب‌گذاری در بسیاری از رودخانه‌های جهان است. در مطالعه حاضر الگوهای فرسایش و برافزایش رودخانه بشار با استفاده از تصاویر ماهواره‌ای لندست، طی سال‌های ۱۹۷۵-۲۰۱۵ برای یک دوره ۴۰ ساله با استفاده از ابزارهای سنجش از دور و سامانه اطلاعات جغرافیایی مورد بررسی قرار گرفت. بررسی نسبت فرسایش در بازه‌های مورد بررسی رودخانه بشار نشان می‌دهد که بازه پنجم و اول به ترتیب به میزان ۵/۹ و ۴/۶ هکتار در سال بیشترین نسبت فرسایش را نشان داده است. هم‌چنین بازه‌های دوم و پنجم به ترتیب به میزان ۴/۸ و ۴/۶ هکتار در سال بیشترین نسبت برافزایش را نشان داده است. تغییرات کوتاه‌مدت و بلندمدت فرسایش و برافزایش نیز نشان داد که از سال ۱۹۷۵ تا کنون میزان فرسایش و برافزایش در رودخانه بشار افزایش یافته است. البته بررسی تصاویر سال‌های مختلف حاکی از افزایش میزان پسروی و پیشروی در ۲۰ سال اول و سپس کاهش میزان پسروی و پیشروی در ۲۰ ساله دوم بوده است.

کلمات کلیدی: فرسایش، پسروی، پیشروی، سنجش از دور، تصاویر ماهواره‌ای

مقدمه

توسعه فرسایش کناری یا گسیختگی توده‌ای به نیروی خالص سیلان و مقاومت مواد کناری بستگی دارد (Knighton, ۱۹۸۴؛ Hack و Morisawa, ۱۹۸۵). به طور کلی پسروی رودخانه را می‌توان به طفیان سیلان و نیروی وارد به کناره رودخانه نسبت داد (Haque, ۱۹۹۷). تغییرات کanal رودخانه مانند فرسایش کناری، زیرشوابی کنار رودخانه، برافزایش کناری فرایندهای طبیعی رودخانه‌های آبرفتی می‌باشند (yao و همکاران, ۲۰۱۲). اگرچه فعالیت‌های توسعه منطقه‌ای مانند معدن کاوی، احداث زیرساخت‌ها در طول کناره رودخانه، کاتاف‌های مصنوعی، پوشش‌های کناری رودخانه و تغییرات کاربری اراضی سبب تغییرات دینامیک ژئومورفولوژی طبیعی رودخانه می‌گردد (kesel, ۲۰۰۳؛ batalla و همکاران, ۲۰۰۴؛ vanacker و همکاران, ۲۰۰۵). در این میان فعالیت‌های انسانی نیروهای قویتری برای تغییر کanal رودخانه نسبت به سیلانها و خشکسالی‌ها هستند. در حال حاضر مطالعات متعددی به بررسی فرسایش کناره‌ای اشاره دارند که به عنوان عامل اصلی مسائل مربوط به کیفیت آب و تخریب رودخانه‌ها است (Lewin, Grimshaw و Prosser, ۱۹۸۰؛ Simon, ۲۰۰۱؛ Collison, ۲۰۰۲).

هم‌چنین در بسیاری از مناطق، فرسایش کناره‌ای منبع اصلی بار رسوب معلق رودخانه‌ها است (Thoma و همکاران, ۲۰۰۵؛ Belmont و همکاران, ۲۰۱۱؛ Kessler و همکاران, ۲۰۱۳). فرسایش کناره‌ای عامل حمل ۷۰ تا ۸۰ درصد از رسوب انتقالی رودخانه‌ها است. بنابراین در نظر گرفتن این میزان در مدیریت رودخانه‌ها دارای اهمیت است. Schilling و همکاران (۲۰۰۶) تخمین



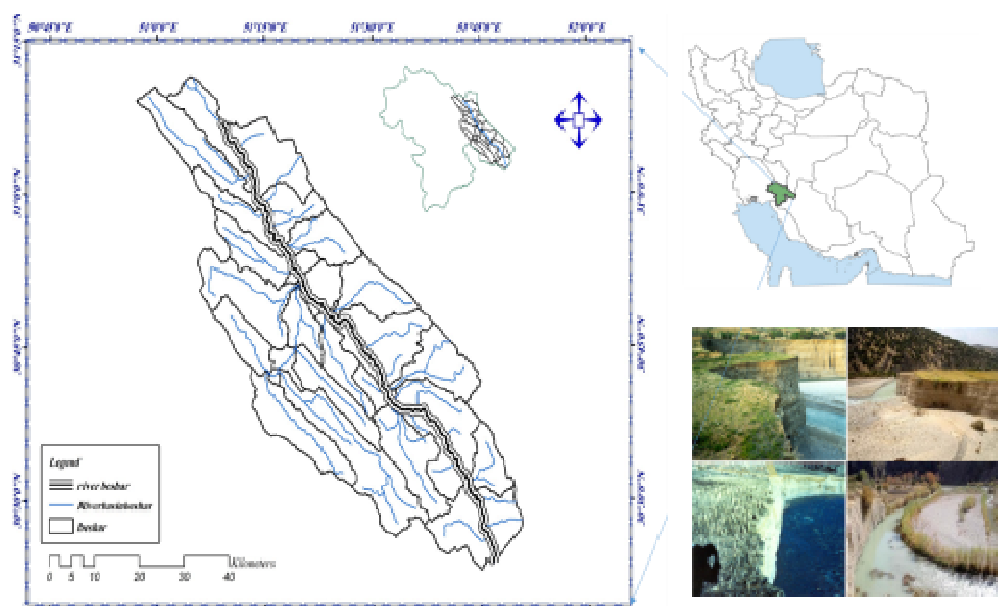
زدهاند که ۳۸-۶۴٪ از رسوب معلق سالانه در حوزه آبخیز Walnut Creek در جنوب مرکزی ایالت آیووا را می‌توان به فرسایش کناره‌ای نسبت داد.

فعالیت‌های توسعه منطقه‌ای مانند استخراج معادن شن و ماسه، احداث زیرساخت‌ها در امتداد رودخانه، قطع مصنوعی آب، ایجاد پوشش‌های دیواره رودخانه (سنگ‌چین، تورسنج، ژئوتکستایل^{۱۰۲}، ۱۰۳)، ساخت مخازن و تغییرات استفاده از زمین سبب تغییر دینامیک زمین‌ریخت‌شناسی طبیعی رودخانه‌ها شده است (Surian و Rinaldi^{۱۰۴}؛ Batalla^{۱۰۵} و همکاران، ۲۰۰۳؛ Vanacker^{۱۰۶} و همکاران، ۲۰۰۴؛ Wellmeyer^{۱۰۷} و همکاران، ۲۰۰۵؛ Yao^{۱۰۸} و همکاران، ۲۰۱۱).

در دهه‌های اخیر مطالعات مختلفی روی مورفولوژی رودخانه‌های اصلی با استفاده از تصاویر ماهواره‌ای انجام شده است (kammu^{۱۰۹} و mekong^{۱۱۰} برای رودخانه chu و همکاران، ۲۰۰۶؛ yellow^{۱۱۱} و wang^{۱۱۲} برای رودخانه lu و baki^{۱۱۳} و همکاران، ۲۰۰۶؛ sarker^{۱۱۴} و thorne^{۱۱۵} برای رودخانه yangtze و همکاران، ۲۰۰۳؛ gan^{۱۱۶} و sarker^{۱۱۷} برای رودخانه های بنگلادش و همکاران، ۲۰۱۲) (brahmaputra^{۱۱۸} رودخانه).

مواد و روش‌ها منطقه مورد بررسی

حوضه آبریز رودخانه بشار در جنوب غربی ایران در محدوده ای بین عرض جغرافیایی ۳۱°۰۰' تا ۱۵°۳۰' درجه شمالی و طول جغرافیایی ۵۱°۰۰' تا ۵۲°۱۰' درجه شرقی در دامنه رشته کوه های زاگرس واقع شده است و از نظر تقسیمات کشوری جزء استان کهگیلویه و بویر احمد می باشد. حداقل ارتفاع حوضه ۴۴۳۷ متر از سطح دریا (قله دنا) و حداقل آن ۱۳۵۷ متر و ارتفاع متوسط آن ۲۱۹۹ متر می باشد.



شکل (۱) حوزه آبخیز رودخانه بشار در کشور ایران و استان کهگیلویه و بویر احمد

¹⁰² Iwa

¹⁰³ Geotextile



موقعیت جغرافیایی

در پروژه از تلفیقی از روش‌های سنجش‌ازدوری و مشاهدات صحرایی، برای بررسی تغییرات الگوی فرسایش کنار رودخانه‌ای استفاده شده است. بدین منظور از تصویر ماهواره‌لندهست سال ۱۹۷۵ به عنوان تصویر اولیه (قدیمی ترین تصویر) و از تصویر لندهست ۲۰۱۵ به عنوان جدیدترین تصویر استفاده شد.

انجام پژوهش حاضر در آبخیز بشار با مختصات جغرافیایی و با لحاظ جمیع شرایط طی مراحل زیر انجام خواهد شد.

- پایش و پیمایش رودخانه بشار از پل قلات تا پاتاوه
- پردازش اطلاعات تهیه شده (داده‌های خام تصاویر ماهواره‌ای نیاز به عملیات پردازش از جمله تصحیحات هندسی، پردازش‌های رادیومتریک و عملیات طبقه‌بندی دارند)
- رقومی سازی خطوط ساحی در نرم افزار سامانه اطلاعات جغرافیایی با میانگین خطای تفسیر بصری کم
- همه تصاویر ماهواره‌ای بهوسیله سیستم اطلاعات جغرافیایی و نرم‌افزارهای سنجش از دوری مانند ENVI پردازش و آنالیز گردید. خطوط ساحلی کنار رودخانه، حاشیه خارجی کanal اصلی رودخانه را از دشت سیلابی تفکیک می‌کند. در این مطالعه تمام تصاویر ماهواره‌ای با دقت برای تشخیص خطوط ساحلی یا کناری رودخانه از بالادست به سمت پایین دست در نرم‌افزار سامانه اطلاعات جغرافیایی رقومی شدند.
- پلی‌گون نمودن خطوط ساحلی با استفاده از نرم افزار سامانه اطلاعات جغرافیایی برای نشان دادن پسروی یا پیشروی
- تعیین و محاسبه میزان عقبنشینی رودخانه از طریق تصاویر ماهواره‌ای در رودخانه مورد مطالعه برای تعیین نوع تغییرات هر یک از سواحل ابتدا موقعیت هر خط ساحلی در بازه‌های مکانی مورد مطالعه با خط ساحلی دوره قبل مورد مقایسه قرار گرفت تا نوع جابه‌جایی در قالب پیشروی و پسروی مشخص شود سپس برای هر ساحل در هر دوره لایه‌ای تهیه شد که در آن ضمن تعیین نوع جابه‌جایی‌ها سطح جابه‌جایی‌ها نیز نسبت به دوره قبل اندازه‌گیری شود. در نهایت برای هر دوره زمانی بازه‌های مکانی از قبل تعیین شده از هم تفکیک شده و جداول آماری مجزایی برای هر کدام از آن‌ها در نظر گرفته شد تا در هر دوره زمانی امکان مقایسه مکانی بین بازه‌ها نیز فراهم شده باشد (یمانی و همکاران، ۱۳۹۳).

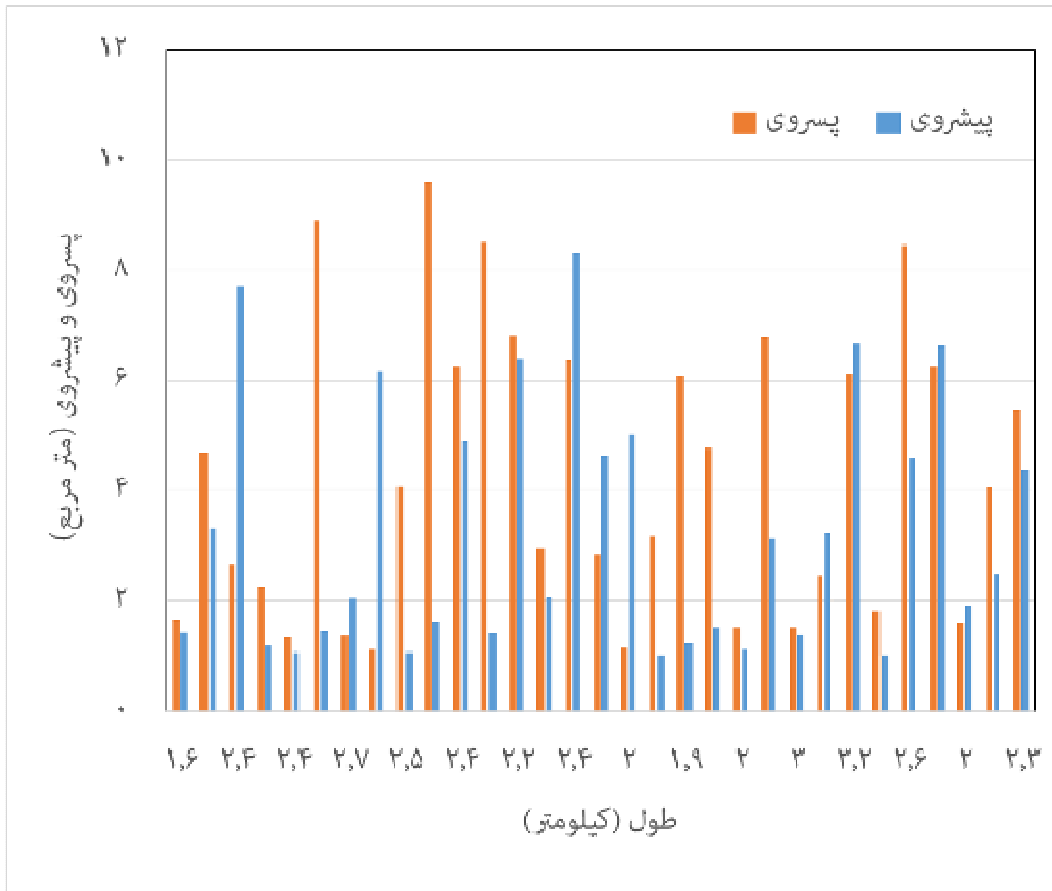
نتایج:

جدول (۱) مقادیر پسروی و پیشروی رودخانه بشار را طی دوره زمانی ۱۹۷۵-۲۰۱۵ ارائه کرده است. در شکل (۹) فرسایش و برافرازیش رودخانه بشار در بعضی از بازه‌ها به صورت نمونه ارائه شده است.

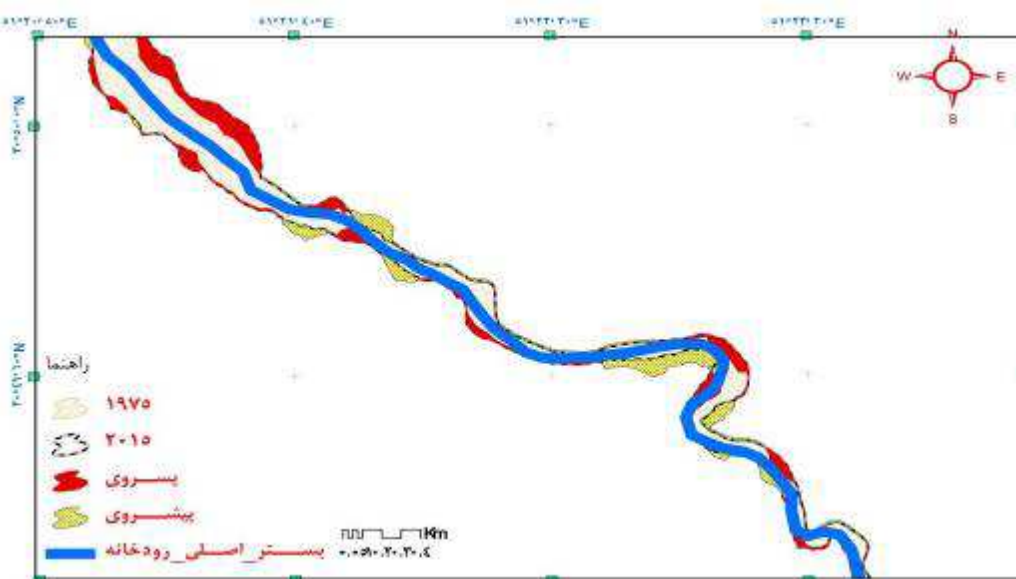
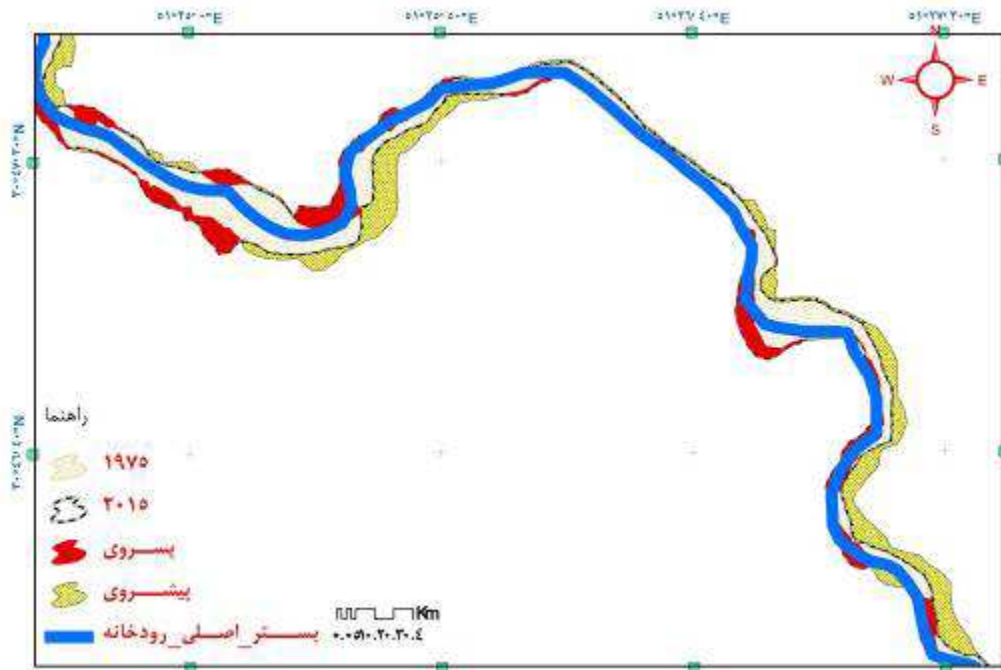
جدول (۲) میزان پسروی و پیشروی در بازه‌های مورد بررسی رودخانه بشار

تغییرات زمانی	بازه اول	بازه دوم	بازه سوم	بازه چهارم	بازه پنجم	بازه ششم	بازه هفتم	میانگین فرسایش
پسروی	۰/۴۶	۰/۳۳	۰/۳۵	۰/۳۲	۰/۵۹	۰/۴۳	۰/۳۶	۰/۴۱
پیشروی	۰/۴۸	۰/۴	۰/۴۴	۰/۳۲	۰/۴۶	۰/۲۳	۰/۲۲	۰/۳۶

از نتایج جدول بالا مشخص است که در دوره‌های بررسی شده میزان فرسایش در بازه‌های پنجم و اول بیشترین مقادیر را ارائه نموده است. قابل ذکر است



شكل (۲) تغییرات الگوی رودخانه در فاصله های مختلف



شکل (۳) پسروی و پیشروی در بازه‌هایی از رودخانه بشار طی دوره ۱۹۷۵-۲۰۱۵

نتیجہ گیری

نتایج بررسی الگوهای فرسایشی و برافزایشی در رودخانه بشار حاکی از بیشتر بودن میزان فرسایش نسبت به برافزایش در کل رودخانه است. تغییرات کوتاه‌مدت و بلندمدت فرسایش و برافزایش نیز نشان داد که از سال ۱۹۷۵ تا کنون میزان فرسایش و برافزایش در



رودخانه بشار افزایش یافته است. البته بررسی تصاویر سال های مختلف حاکی از افزایش میزان پسروی و پیشروی در ۲۰ سال اول و سپس کاهش میزان پسروی و پیشروی در ۲۰ ساله دوم بوده است. با توجه به کاهش دبی رودخانه طی بیست سال اخیر، کاهش مقادیر فرسایشی و برافزایشی تا حد زیادی به کاهش دبی رودخانه بستگی دارد. البته رابطه بین دبی رودخانه بشار با میزان فرسایش و برافزایش رودخانه هر چند مثبت و دارای همبستگی نسبتاً خوبی است ولی این رابطه کاملاً معنی دار نبوده است بهطوری که نقش عوامل دیگر در میزان فرسایش و برافزایش را نشان می دهد. با توجه به نتایج به دست آمده از تحقیق حاضر و مطالعات و بازدیدهای صحرایی دلایل مختلفی در شکل گیری الگوی کنونی رودخانه بشار از جمله دبی، زمین شناسی، کاربری اراضی حاشیه رودخانه، عوامل انسانی، تنش برشی و ... مؤثر است.

منابع

- Baki, A. B. M., & Gan, T. Y. (2012). Riverbank migration and island dynamics of the braided Jamuna River of the Ganges–Brahmaputra basin using multi-temporal Landsat images. *Quaternary International*, 263, 148-161.
- Batalla, R.J., Gomez, C.M., Kondolf, G.M., 2004. Reservoir-induced hydrological changes in the Ebro River basin (NE Spain). *Journal of Hydrology* 290, 117–136.
- Chu, Z.X., Sun, X.G., Zhai, S.K., Xu, K.H., 2006. Changing pattern of accretion/erosion of the modern Yellow River (Huanghe) subaerial delta, China: based on remote sensing images. *Marine Geology* 227, 13–30.
- Haque, C.E., 1997. Hazards in a Fickle Environment: Bangladesh. Kluwer Academic Publishers, Dordrecht, Netherlands.
- Hoeke, R.K., Zarillo, G.A., Snyder, M., 2001. A GIS based tool for extracting shoreline positions from aerial imagery (Beachtools). Coastal and Hydraulics Laboratory Technical Note ERDC/CHL CHETN-IV-37, U.S. Army Engineer Research and Development Center, Vicksburg, MS.
- Hossain Md Altaf, Gan Thian Yew , Baki Abul Basar M. 2013. Assessing morphological changes of the Ganges River using satellite images. *Quaternary International* (304), 145-155.
- Kankara, R.S., Chenthamil Selvan, S., Markose, V.J., Rajan, B., Arockiaraj, S. (2015). Estimation of long and short term shoreline changes along andhra pradesh coast using remote sensing and gis thechniques. *Procedia engineering*, 116: 855-862.
- Kesel, R.H., 2003. Human modifications to the sediment regime of the Lower Mississippi River flood plain. *Geomorphology* 56, 325–334.
- Kessler, A. C., Gupta, S. C., & Brown, M. K. (2013). Assessment of river bank erosion in Southern Minnesota rivers post European settlement. *Geomorphology*, 201, 312-322.
- Kurosawa, T., Tanaka, H., 2001. A study of detection of shoreline position with aerial photographs, *Proceedings of Coastal Engineering*, Vol. 48, Japan Society of Civil Engineer, pp. 586-590.
- Morisawa, M., Hack, J.T., 1985. Tectonic geomorphology. In: *Proceedings of the 15th Annual Binghamton Geomorphology Symposium*, Boston.



- Sarker, M.H., Huque, I., Alam, M., 2003. Rivers, chars and char dwellers of Bangladesh. *International Journal of River Basin Management* 1 (1), 61e80.
- Sarker, M.H., Thorne, C.R., 2006. Morphological response of the BrahmaputraePadmaeLower Meghna river system to the Assam earthquake of 1950. In: Sambrook Smith, G.H., Best, J., Bristow, C.S., Petts, G.E. (Eds.), *Braided Rivers; Process, Deposits, Ecology and Management*. Int. Assoc. of Sedimentologists, 36, Blackwell, 289e310 pp.
- Thorne, C.R., 1982. Processes and mechanisms of river bank erosion. In: Hey, R.D., Bathurst, J.C., Thorne, C.R. (Eds.), *Gravel-Bed Rivers*. Wiley, Chichester, England, pp. 227e271.
- Thorne, C.R., Tovey, N.K., 1981. Stability of composite river banks. *Earth Surface Processes and Landforms* 6, 469e484.
- Vanacker, V., Molina, A., Govers, G., Poesen, J., Dercon, G., Deckers, S., 2005. River channel response to short-term human-induced change in landscape connectivity in Andean ecosystems. *Geomorphology* 72, 340–353.